Figure 1

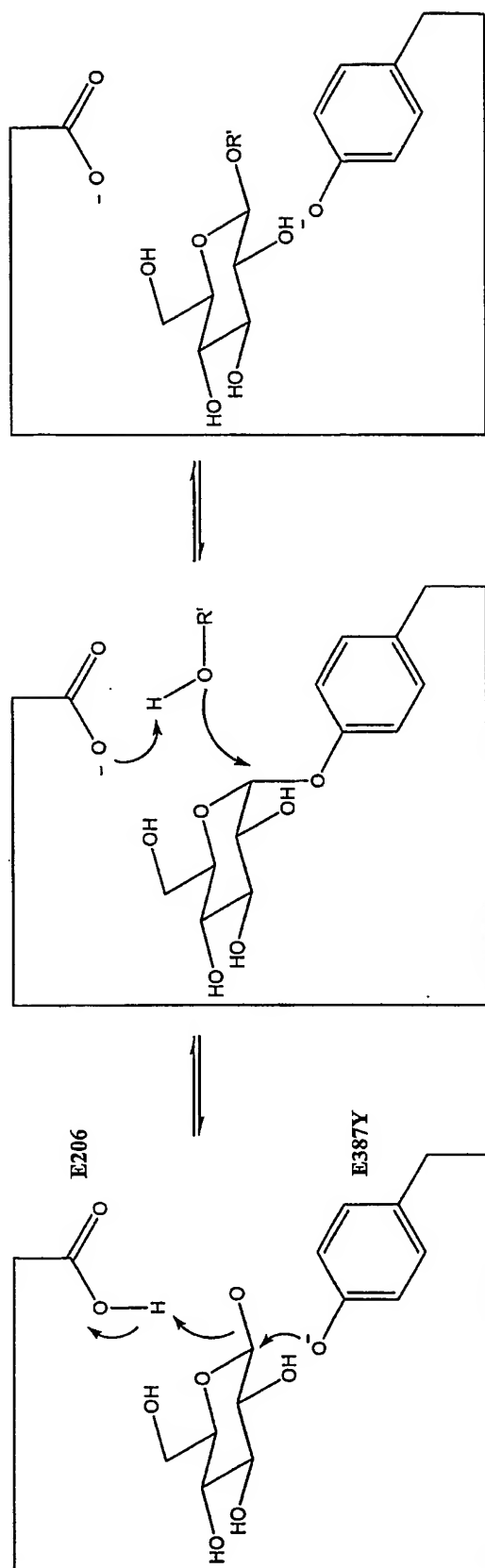


Figure 2

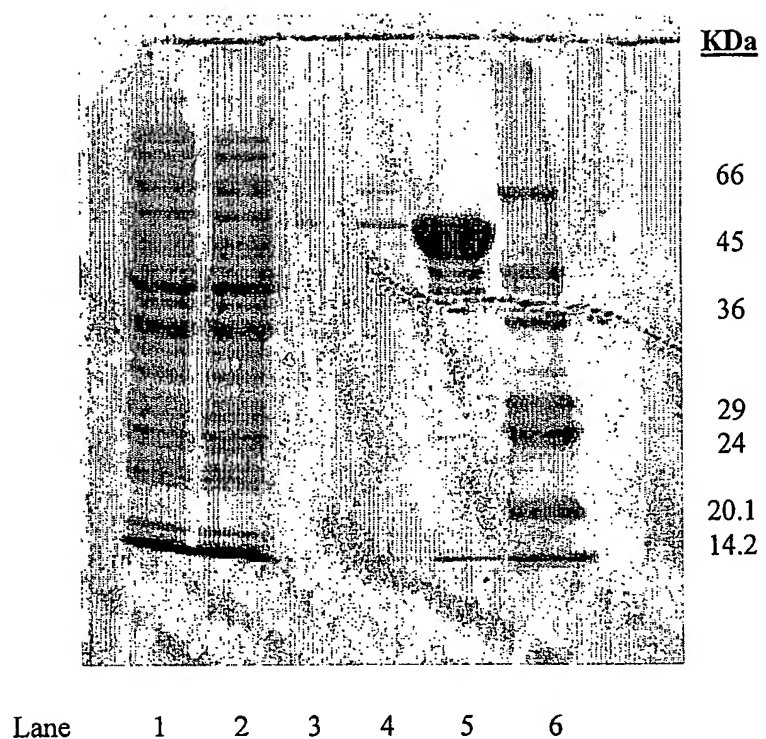


Figure 3

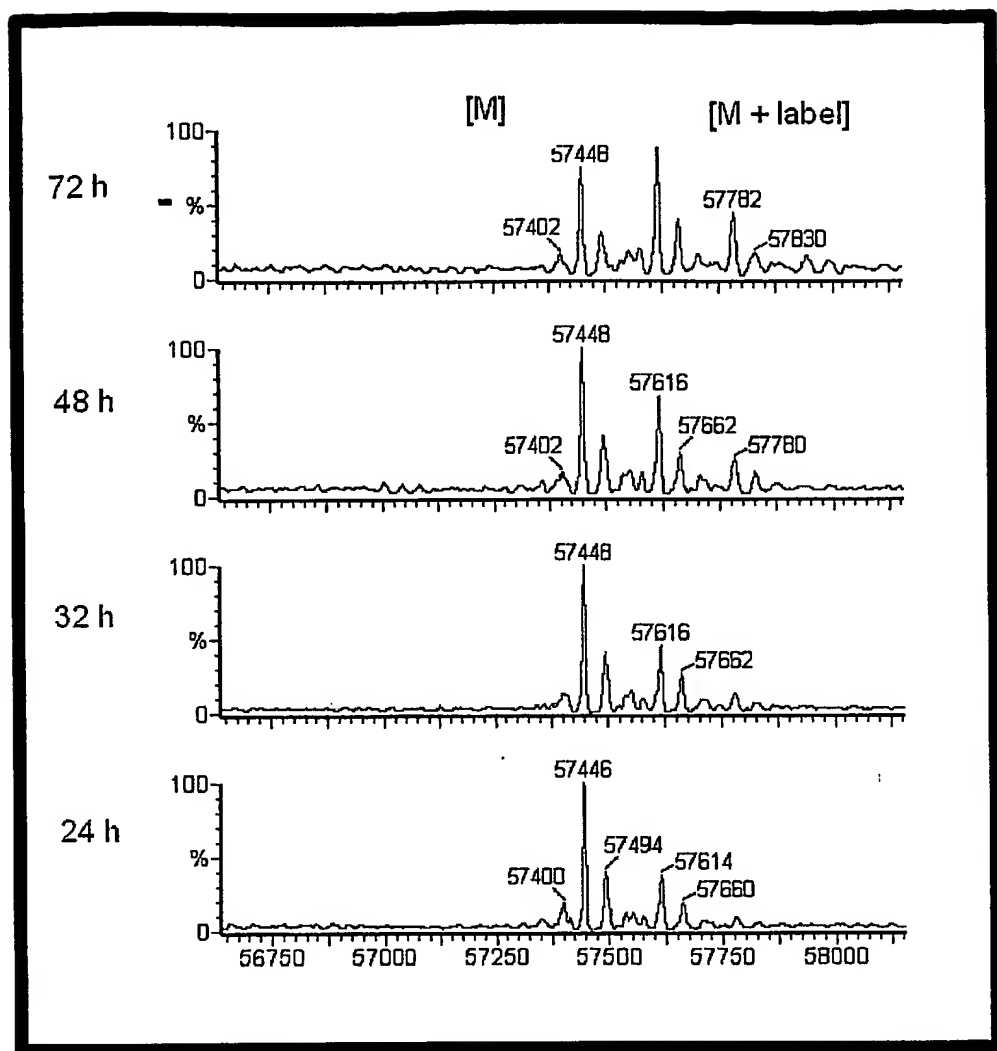


Figure 4

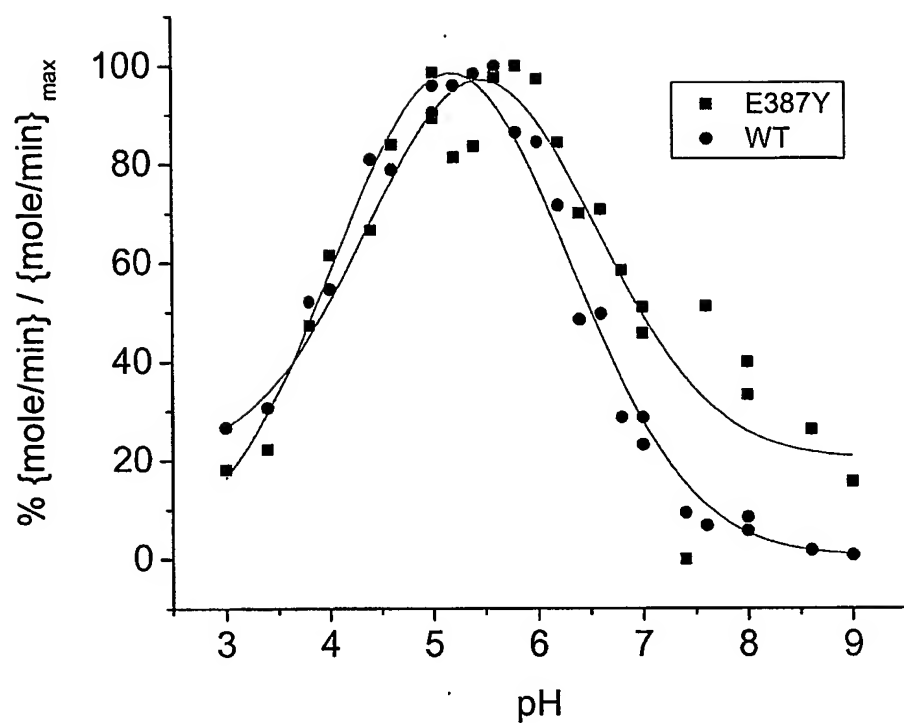
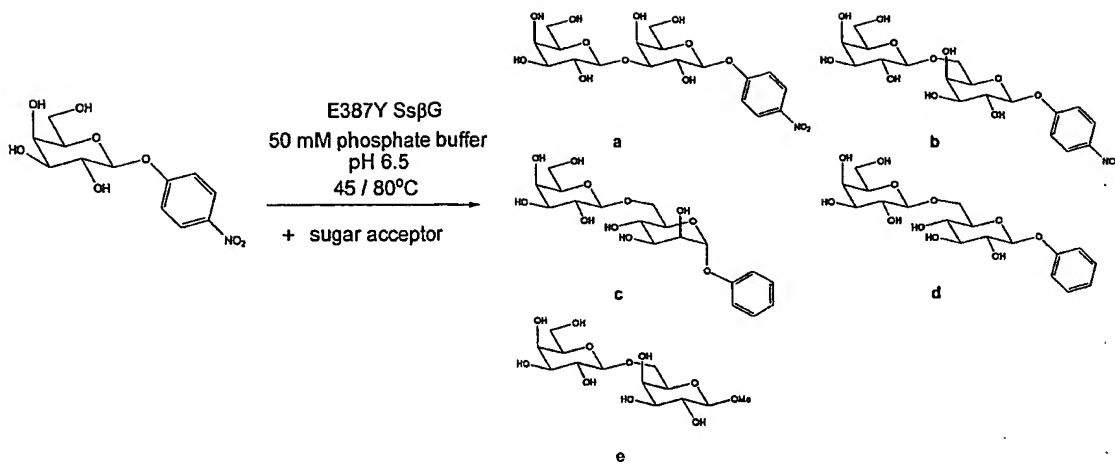
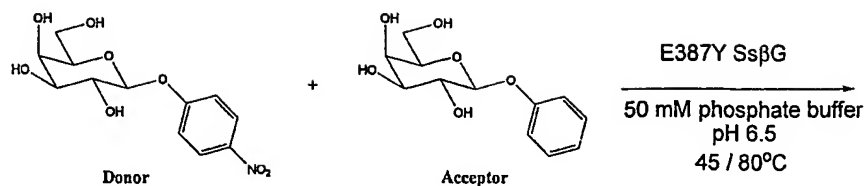


Figure 5



acceptor	time / h	temp. / °C	yield <sup>[c]</sup> / %						S / H <sup>[d]</sup>	conv. <sup>[e]</sup> / %		
			a	b	c	d	e	H <sup>[d]</sup>	S <sup>[d]</sup>			
Me $\beta$ Gal	105	45	18	24	-	-	2	37	44	81	1.2	92
Me $\beta$ Gal	15	80	51	36	-	-	1	0	88	88	$\infty$	78
cellobiose	250	45	14	15	-	-	-	44	29	73	0.7	100
cellobiose	15	80	22	27	-	-	-	6	49	55	8.2	79
lactose	105	45	21	29	-	-	-	33	50	75	2.0	80
lactose	15	80	30	54	-	-	-	16	84	100	5.3	91
Me $\beta$ Man	105	45	16	38	-	-	-	46	54	100	1.2	100
Me $\beta$ Man	15	80	39	46	-	-	-	15	85	100	5.7	92
Ph $\beta$ Glc	180	45	9	46	-	26	-	17	81	98	4.8	97
Ph $\beta$ Glc	16	80	0	28	-	12	-	37	??	??	?	100
Ph $\alpha$ Man	41	45	0	3	12	-	-	85	15	100	0.2	100
Ph $\alpha$ Man	15	80	1	10	25	-	-	64	36	100	0.6	100

Figure 6



ratio [D:A]	D / mM	E387Y / mgmL <sup>-1</sup>	time / h	temp. / °C	yield <sup>[c]</sup> / %						S/H total	conv. <sup>[c]</sup> / %	
					a	b	d	tri <sup>[e]</sup>	H <sup>[d]</sup>	S <sup>[d]</sup>			
1:1	30	1	41	45	17	37	29	11	6	94	100	16	47
1:2	30	1	41	45	18	15	49	6	2	88	100	44	74
1:3	30	1	41	45	5	0	72	23	<1	>99	100	99	29
1:1	60	1	41	45	10	17	17	3	<1	47	48	47	58
1:1	60	2	41	45	6	6	22	0	40	34	74	0.85	66

Figure 7